

(19) 日本国特許庁(JP)

(12) 公開特許公報(A)

(11) 特許出願公開番号

特開2012-168155  
(P2012-168155A)

(43) 公開日 平成24年9月6日(2012.9.6)

(51) Int.Cl.			F I			テーマコード (参考)		
GO1K	1/02	(2006.01)	GO1K	1/02	E	2F056		
GO1K	7/32	(2006.01)	GO1K	7/32	D	4C117		
GO1K	7/00	(2006.01)	GO1K	7/32	S			
A61B	5/01	(2006.01)	GO1K	7/00	341D			
			A61B	5/00	101E			

審査請求 未請求 請求項の数 17 O L (全 21 頁)

(21) 出願番号 特願2011-171588 (P2011-171588)  
 (22) 出願日 平成23年8月5日 (2011.8.5)  
 (31) 優先権主張番号 特願2010-212962 (P2010-212962)  
 (32) 優先日 平成22年9月24日 (2010.9.24)  
 (33) 優先権主張国 日本国 (JP)  
 (31) 優先権主張番号 特願2011-12803 (P2011-12803)  
 (32) 優先日 平成23年1月25日 (2011.1.25)  
 (33) 優先権主張国 日本国 (JP)

(71) 出願人 000006231  
 株式会社村田製作所  
 京都府長岡京市東神足1丁目10番1号  
 (74) 代理人 110000970  
 特許業務法人 楓国際特許事務所  
 (72) 発明者 伊藤 重夫  
 京都府長岡京市東神足1丁目10番1号  
 株式会社村田製作所  
 内  
 (72) 発明者 星野 有里  
 京都府長岡京市東神足1丁目10番1号  
 株式会社村田製作所  
 内

最終頁に続く

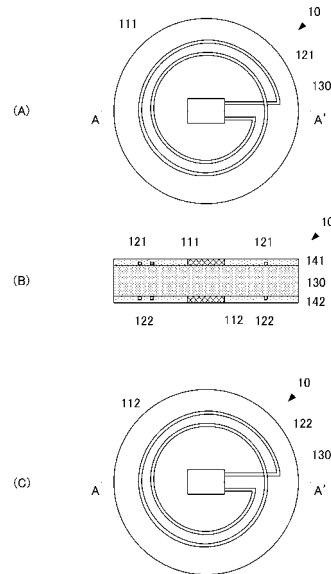
(54) 【発明の名称】 無線式体温計および無線式体温測定システム

(57) 【要約】

【課題】 精度良く深部体温を測定可能な無線式体温計を実現する。

【解決手段】 無線式体温計10は、可撓性、絶縁性、所定の熱抵抗率 $\tau$ を有し、所定厚みDからなる断熱体130を備える。断熱体130の一方面には、水晶振動子111が配置されている。断熱体130の他方面には、水晶振動子112が配置されている。断熱体130の他方面には、平面視して水晶振動子112を囲むように、巻回形のコイル電極122が形成されており、水晶振動子112に接続している。

【選択図】 図1



**【特許請求の範囲】****【請求項 1】**

所定の熱抵抗率を有する材質によって形成された断熱体と、  
該断熱体の一方面に配置された第 1 の温度検出手段と、  
前記断熱体を介して前記一方面と対向する他方面に配置された第 2 の温度検出手段と、  
前記第 1 の温度検出手段から出力される第 1 検出信号を送信する第 1 アンテナと、  
前記第 2 の温度検出手段から出力される第 2 検出信号を送信する第 2 アンテナと、を備え、  
前記第 1 アンテナと前記第 2 アンテナとが、それぞれ独立して個別に形成されている、  
無線式体温計。

10

**【請求項 2】**

請求項 1 に記載の無線式体温計であって、  
前記第 1 の温度検出手段と前記第 2 の温度検出手段とが、それぞれ複数配設されている、  
無線式体温計。

**【請求項 3】**

請求項 1 または請求項 2 に記載の無線式体温計であって、  
前記第 1 アンテナと前記第 2 アンテナとが、前記断熱体を平面視して、該断熱体の一方  
面あるいは該一方面と対向する他方面の領域内に配置されている、無線式体温計。

**【請求項 4】**

請求項 1 乃至請求項 3 のいずれかに記載の無線式体温計であって、  
前記第 1 アンテナと前記第 2 アンテナは、外部のアンテナに対して磁界結合する巻回形  
のコイルによって形成されている、無線式体温計。

20

**【請求項 5】**

請求項 4 に記載の無線式体温計であって、  
前記第 1 アンテナおよび前記第 2 アンテナよりも内径および外径が大きな巻回状導体を  
有し、該巻回状導体による共振周波数が第 1 検出信号および第 2 検出信号の周波数に略一  
致する中継アンテナを備え、  
前記巻回状導体は、前記断熱体の外側面もしくは外側面よりも外方に、前記断熱体を囲  
むように配設されている、無線式体温計。

**【請求項 6】**

請求項 4 または請求項 5 に記載の無線式体温計であって、  
前記第 1 の温度検出手段は、前記第 1 アンテナを構成する前記コイルの巻回形の中心側  
に配置され、  
前記第 2 の温度検出手段は、前記第 2 アンテナを構成する前記コイルの巻回形の中心側  
に配置されている、無線式体温計。

30

**【請求項 7】**

請求項 1 乃至請求項 6 のいずれか 1 項に記載の無線式体温計であって、  
前記第 1 の温度検出手段と前記第 2 の温度検出手段は、外部からの無線信号によって動  
作するものであり、かつ前記第 1 アンテナと前記第 2 アンテナに直接接続されており、検  
出した温度を外部に伝達する機能を有する温度センサ素子である、無線式体温計。

40

**【請求項 8】**

請求項 7 に記載の無線式体温計であって、  
前記第 1 の温度検出手段および前記第 2 の温度検出手段は圧電共振子からなる、無線式  
体温計。

**【請求項 9】**

請求項 8 に記載の無線式体温計であって、  
前記圧電共振子は水晶振動子である、無線式体温計。

**【請求項 10】**

請求項 8 に記載の無線式体温計であって、  
前記圧電共振子は弾性表面波共振子である、無線式体温計。

50

## 【請求項 1 1】

請求項 8 乃至請求項 1 0 のいずれか 1 項に記載の無線式体温計であって、  
体温を算出する際に利用する校正用データを記憶させた R F I D を、前記第 1 の温度検出手段および前記第 2 の温度検出手段とは別に備える、無線式体温計。

## 【請求項 1 2】

請求項 1 1 に記載の無線式体温計であって、  
前記校正用データは、前記第 1 の温度検出手段および前記第 2 の温度検出手段の温度と周波数の相関データもしくは当該相関データから算出される第 1 の補正係数を含む、無線式体温計。

## 【請求項 1 3】

請求項 1 1 または請求項 1 2 に記載の無線式体温計であって、  
前記校正用データは、前記断熱体の熱抵抗もしくは当該熱抵抗から算出される第 2 の補正係数を含む、無線式体温計。

10

## 【請求項 1 4】

請求項 7 に記載の無線式体温計であって、  
前記第 1 の温度検出手段および第 2 の温度検出手段の少なくとも一方は、温度センサを内蔵する R F I D - I C である、無線式体温計。

## 【請求項 1 5】

請求項 1 4 に記載の無線式体温計であって、  
前記 R F I D - I C は、体温を算出する際に利用する校正用データを記憶している、無線式体温計。

20

## 【請求項 1 6】

請求項 1 乃至請求項 1 0、および請求項 1 4 のいずれか 1 項に記載の無線式体温計と、  
該無線式体温計に対して、前記第 1 の温度検出手段および前記第 2 の温度検出手段に与える入力信号の送信、前記第 1 検出信号および前記第 2 検出信号の受信を行う親機と、を備えた無線式体温測定システムであって、  
前記無線式体温計は被検温体の表面に装着され、  
前記親機は、前記無線式体温計と無線通信する親機側アンテナ部と、  
前記第 1 検出信号および前記第 2 検出信号に基づいて、前記被検温体の深部体温の計測を行う計測用処理部と、を備える、無線式体温測定システム。

30

## 【請求項 1 7】

請求項 1 1、請求項 1 2、請求項 1 3 および請求項 1 5 のいずれか 1 項に記載の無線式体温計と、  
該無線式体温計に対して、前記第 1 の温度検出手段および前記第 2 の温度検出手段に与える入力信号の送信、前記第 1 検出信号および前記第 2 検出信号の受信を行う親機と、を備えた無線式体温測定システムであって、  
前記無線式体温計は被検温体の表面に装着され、  
前記親機は、前記無線式体温計と無線通信する親機側アンテナ部と、  
前記第 1 検出信号および前記第 2 検出信号と前記校正用データとを用いて、前記被検温体の深部体温の計測を行う計測用処理部と、を備える、無線式体温測定システム。

40

## 【発明の詳細な説明】

## 【技術分野】

## 【0 0 0 1】

本発明は、被検温体の体温によって定まる物理量を測定して当該物理量を外部装置に無線送信する無線式体温計および当該無線式体温計を備えた無線式体温測定システムに関する。

## 【背景技術】

## 【0 0 0 2】

従来、深部体温を測定する装置が各種考案されており、その一つとして、特許文献 1 に示す装置がある。特許文献 1 に示す装置は、被検温体の表面に装着される体温計本体と、

50

表示装置とを備える。体温計本体と表示装置との間では、無線通信が可能な構成となっている。

【0003】

特許文献1の体温計本体は、体表面側温度センサと外気側温度センサとを一つの組として備える。体表面側温度センサと外気側温度センサとは、所定の熱抵抗を有する断熱材を介在するように配置されている。そして、体温計本体は、体表面側温度センサが被検温体の表面に当接するように、被検温体に対して設置される。体表面側温度センサの温度検出結果と、外気側温度センサの温度検出結果とは、無線通信により、表示装置へ送信される。

【0004】

特許文献1の表示装置は、体表面側温度センサの温度検出結果、外気側温度センサの温度検出結果、および、体表面側温度センサと外気側温度センサとの間の断熱材の熱抵抗に基づいて、深部体温を算出して表示する。

【先行技術文献】

【特許文献】

【0005】

【特許文献1】特開2006-308538号公報

【発明の概要】

【発明が解決しようとする課題】

【0006】

しかしながら、上述の特許文献1に示す体温測定装置では、体表面側温度センサと外気側温度センサとが、導電性の電極パターンによって物理的に単一のアンテナに接続する構造を用いている。このため、体表面側温度センサと外気側温度センサとが導電性の電極パターンで接続されてしまう。

【0007】

したがって、体表面から体表面側温度センサ、外気側温度センサを介して、外気に熱が伝導する際に、断熱材のみでなく、導電性の電極パターンを介しても熱伝導してしまう。これにより、深部体温の算出結果の精度が低下してしまう。

【0008】

この発明の目的は、精度良く深部体温を測定可能な無線式体温計および無線式体温測定システムを実現することにある。

【課題を解決するための手段】

【0009】

この発明は、被検温体の深部体温を測定するための無線式体温計に関する。本発明の無線式体温計は、断熱体、第1の温度検出手段、第2の温度検出手段、第1アンテナおよび第2アンテナを備える。断熱体は所定の熱抵抗率を有する材質によって形成されている。第1の温度検出手段は断熱体の一方面に配置されており、第2の温度検出手段は断熱体を介して一方面と対向する他方面に配置されている。第1アンテナは第1の温度検出手段から出力される第1検出信号を送信する。第2アンテナは第2の温度検出手段から出力される第2検出信号を送信する。このような構成の上で、第1アンテナと第2アンテナとは、それぞれ独立して個別に形成されている。

【0010】

この構成では、第1の温度検出手段と第2の温度検出手段とで共通のアンテナを用いない。したがって、第1の温度検出手段と第2の温度検出手段とが導電体で接続されない構造となる。これにより、第2の温度検出手段を被検温体の表面に密着させ、第1の温度検出手段を外気側とするように、無線式体温計を設置すれば、被検温体からの体温が外部に放熱される過程において、第2の温度検出手段と第1の温度検出手段との間では、断熱体のみを介して熱伝導される。

【0011】

また、この発明の無線式体温計では、第1の温度検出手段と第2の温度検出手段とが、

10

20

30

40

50

それぞれ複数配設されている。

【0012】

この構成では、二つの異なる熱伝達経路での温度検知結果が得られ、これら複数の深部体温を算出することが可能になる。したがって、より信頼性の高い深部体温を測定することができる。

【0013】

また、この発明の無線式体温計では、第1アンテナと第2アンテナとが、断熱体の一方面あるいは一方面と対向する他方面の領域内に配置されている。

【0014】

この構成では、第1アンテナと第2アンテナが断熱体よりはみ出す領域に存在しない。したがって、アンテナを介して外部に直接放熱されることを抑制することができ、測定精度をより向上させることができる。

【0015】

また、この発明の無線式体温計では、第1アンテナと第2アンテナは、外部のアンテナに対して磁界結合する巻回形のコイルによって形成されている。

【0016】

この構成では、近接式で磁界結合型（電磁誘導型）の無線通信を採用する場合の第1アンテナと第2アンテナの具体的構成を示している。この構成により、電波を使用する場合に対して、無線通信に対する被検体温の影響を低減することができるため、無線通信の精度を向上させることができる。

【0017】

また、この発明の無線式体温計では、第1アンテナおよび第2アンテナよりも内径および外径が大きな巻回状導体を有し、該巻回状導体による共振周波数が第1検出信号および第2検出信号の周波数に略一致する中継アンテナを備える。当該中継アンテナの巻回状導体は、断熱体の外側面もしくは外側面よりも外方に、断熱体を囲むように配設されている。

【0018】

この構成では、第1アンテナおよび第2アンテナによる第1検出信号および第2検出信号の送信に中継アンテナを利用でき、外部への放射効率を向上させ、通信効率を向上させることができる。

【0019】

また、この発明の無線式体温計では、第1の温度検出手段は第1アンテナを構成するコイルの巻回形の中心側に配置されている。第2の温度検出手段は第2アンテナを構成するコイルの巻回形の中心側に配置されている。

【0020】

この構成では、第1アンテナの占める領域内に第1の温度検出手段が配置され、第2アンテナの占める領域内に第2の温度検出手段が配置される。これにより、無線式体温計を省スペース化することができる。

【0021】

また、この発明の無線式体温計では、第1の温度検出手段と第2の温度検出手段は、外部からの無線信号によって動作するものであり、かつ第1アンテナと第2アンテナに直接接続されており、検出した温度を外部に伝達する機能を有する温度センサ素子である。

【0022】

この構成では、温度センサを駆動させる駆動装置がない、すなわち、発熱体を有していない。さらに、温度センサがアンテナに直接接続されている。したがって、被検体温の温度をより正確に測定することができる。

【0023】

また、この発明の無線式体温計では、第1の温度検出手段および第2の温度検出手段は圧電共振子からなる。

【0024】

10

20

30

40

50

この構成では、第 1、第 2 の温度検出手段の具体例を示している。

【 0 0 2 5 】

また、この発明の無線式体温計では、圧電共振子は水晶振動子である。また、この発明の無線式体温計では、圧電共振子は弾性表面波共振子である。

【 0 0 2 6 】

これらの構成では、圧電共振子のさらに具体的な例を示している。それぞれの素子の共振周波数およびアンテナの形状から、磁界結合による無線通信の場合には水晶振動子を利用した方が無線式体温計を簡素な構造で形成しやすく、電波による無線通信の場合には弾性表面波共振子を利用した方が無線式体温計を簡素な構造で形成しやすい。

【 0 0 2 7 】

また、この発明の無線式体温計では、体温を算出する際に利用する校正用データを記憶させた R F I D を、第 1 の温度検出手段および第 2 の温度検出手段とは別に備える。

【 0 0 2 8 】

この構成では、校正用データを用いた高精度な体温計測が実現可能になる。

【 0 0 2 9 】

また、この発明の無線式体温計では、校正用データは、第 1 の温度検出手段および第 2 の温度検出手段の温度と周波数の相関データもしくは当該相関データから算出される第 1 の補正係数を含む。

【 0 0 3 0 】

また、この発明の無線式体温計では、校正用データは、断熱体の熱抵抗もしくは当該熱抵抗から算出される第 2 の補正係数を含む。

【 0 0 3 1 】

これらの構成では、校正用データの具体的な内容例を示している。

【 0 0 3 2 】

また、この発明の無線式体温計では、第 1 の温度検出手段および第 2 の温度検出手段の少なくとも一方は、温度センサを内蔵する R F I D - I C である。

【 0 0 3 3 】

この構成では、R F I D - I C による I D 送信機能が追加されるので、第 1 検出信号および第 2 検出信号の少なくとも一方に対して識別 I D を付加することができる。

【 0 0 3 4 】

また、この発明の無線式体温計では、R F I D - I C は、体温を算出する際に利用する校正用データを記憶している。

【 0 0 3 5 】

この構成では、校正用データも送信できるので、当該校正用データを用いた高精度な体温計測に利用できる。

【 0 0 3 6 】

また、この発明は、上述の無線式体温計と、該無線式体温計に対して、第 1 の温度検出手段および第 2 の温度検出手段に与える入力信号の送信、第 1 検出信号および第 2 検出信号の受信を行う親機と、を備えた無線式体温測定システムに関する。この無線式体温測定システムの無線式体温計は被検温体の表面に装着されている。親機は、無線式体温計と無線通信する親機側アンテナ部と、第 1 検出信号および第 2 検出信号に基づいて被検温体の深部体温の計測を行う計測用処理部と、を備える。

【 0 0 3 7 】

この構成では、上述の無線式体温計を含む無線式体温測定システムについて示している。このように上述の無線式体温計を用いることで、深部体温を精度良く測定することができる。

【 0 0 3 8 】

また、この発明の無線式体温測定システムでは、親機の計測用処理部は、無線式体温計から受信した第 1 検出信号および第 2 検出信号と校正用データとを用いて、被検温体の深部体温の計測を行う。

10

20

30

40

50

## 【0039】

この構成では、無線式体温計から取得した校正用データを用いることで、より高精度に、被検温体の深部体温を計測できる。

## 【発明の効果】

## 【0040】

この発明によれば、精度良く深部体温を測定可能な無線式体温計を実現することができる。

## 【図面の簡単な説明】

## 【0041】

【図1】第1の実施形態に係る無線式体温計10の構成を示す図である。

10

【図2】第1の実施形態に係る無線式体温測定システム1の実施状況を示す図である。

【図3】第1の実施形態に係る無線式体温測定システム1の主要回路構成を示すブロック図である。

【図4】第1の実施形態に係る無線式体温計10の変形例である無線式体温計10Aの構成を示す図である。

【図5】第2の実施形態に係る無線式体温計10Aの構成を示す図である。

【図6】第3の実施形態に係る無線式体温計10Bの構成を示す図である。

【図7】第4の実施形態に係る無線式体温計10Cの構成を示す図である。

【図8】第5の実施形態に係る無線式体温計10Dの構成を示す図である。

20

【図9】校正用データの一例を示す表である。

【図10】第5の実施形態に係る無線式体温測定システム1Dの主要回路構成を示すブロック図である。

【図11】第6の実施形態に係る無線式体温計40の構成を示す図である。

## 【発明を実施するための形態】

## 【0042】

本発明の第1の実施形態に係る無線式体温計および無線式体温測定システムについて、図を参照して説明する。本実施形態では、磁界結合により無線式体温計10と携帯型親端末20とで通信を行う場合を示す。なお、通信様式は、磁界結合に限らず、電界結合や電波等、その他の無線通信方式によるものであってもよい。図1は本実施形態に係る無線式体温計10の構成を示す図である。図1(A)は上面断熱体141を省略した状態での上面図、図1(B)は側面断面図、図1(C)は下面断熱体142を省略した状態での下面図である。

30

## 【0043】

無線式体温計10は、可撓性、絶縁性を有するとともに、所定の熱抵抗率 $\tau$ を有する断熱体130を備える。断熱体130は、平面視して(上面側もしくは下面側から見て)円形であり、所定の厚みDを有する。断熱体130は、被検温体の熱抵抗率と略同じ熱抵抗率 $\tau$ の材質を用いている。

## 【0044】

断熱体130の上面(一方向)には、略全面に亘る領域に対して、巻回状のコイル電極121が形成されている。コイル電極121は、無線式体温計10と携帯型親端末20との間で磁界結合による通信を行う第1周波数に応じた形状で形成されている。このコイル電極121が本発明の第1アンテナに相当する。

40

## 【0045】

断熱体130の上面におけるコイル電極121の巻回形を平面視した略中心には、水晶振動子111が配設されている。水晶振動子111とコイル電極121とは、導電性の電極パターンにより接続されている。

## 【0046】

水晶振動子111は、感知温度に応じて所定の共振周波数 $f_{p1}$ で共振する素子である。この水晶振動子111が本発明の第1の温度検出手段に相当する。

## 【0047】

50

そして、断熱体 130 の上面には、コイル電極 121 および水晶振動子 111 を保護する上面断熱体 141 が配設されている。この際、上面断熱体 141 は、水晶振動子 111 の表面が露出するように配設しても良く、水晶振動子 111 の表面を覆うように配設してもよい。なお、この上面断熱体 141 は設置を省略することもできる。

【0048】

断熱体 130 の下面（他方面）には、略全面に亘る領域に対して、巻回状のコイル電極 122 が形成されている。コイル電極 122 は、無線式体温計 10 と携帯型親端末 20 との間で磁界結合による通信を行う第 2 周波数に応じた形状で形成されている。この際、第 2 周波数は、上述の第 1 周波数とは異なる周波数に設定されている。このコイル電極 122 が本発明の第 2 アンテナに相当する。すなわち、第 1 アンテナと第 2 アンテナとは、異なる周波数帯域で無線通信を行うように、コイル電極 121, 122 が形成されている。ただし、第 1 周波数と第 2 周波数が近接するように設定した場合は、コイル電極 121 と 122 は同一の形状で形成することが可能である。

10

【0049】

断熱体 130 の下面におけるコイル電極 122 の巻回形を平面視した略中心には、水晶振動子 112 が配設されている。この際、水晶振動子 112 は、平面視して水晶振動子 111 と略重なり合う位置に配置される。水晶振動子 112 とコイル電極 122 とは、導電性の電極パターンにより接続されている。

【0050】

水晶振動子 112 は、感知温度に応じて上述の水晶振動子 111 とは異なる所定の共振周波数  $f_{p2}$  で共振する素子である。特に、本実施形態の無線式体温計 10 では、当該無線式体温計 10 で検出する温度範囲において、水晶振動子 111 が取り得る周波数帯域と水晶振動子 112 が取り得る周波数帯域とが異なるように、水晶振動子 111, 112 を選択する。この水晶振動子 112 が本発明の第 2 の温度検出手段に相当する。

20

【0051】

そして、断熱体 130 の下面には、コイル電極 122 および水晶振動子 112 を保護する下面断熱体 142 が配設されている。この際、下面断熱体 142 は、水晶振動子 112 の表面が露出するように配設する。下面断熱体 142 として、体表面への吸着性が良好な材料を用いれば、検温時に体表面から剥がれにくくなり、より円滑に体温測定を行うことができる。なお、この下面断熱体 142 は設置を省略することもできる。その場合、断熱体 130 を、体表面への吸着性が良好な材料としてもよい。

30

【0052】

このように、本実施形態の無線式体温計 10 では、水晶振動子 111 に対してはコイル電極 121 がアンテナとなり、水晶振動子 112 に対しては、コイル電極 122 がアンテナとなる。言い換えれば、水晶振動子 111, 112 毎に個別のアンテナが設けられている。これにより、水晶振動子 111, 112 は、導電性の電極パターン、すなわち断熱体 130 と異なる熱伝導率を有する電極パターンにより電氣的に接続されない。この結果、後述する各水晶振動子 111, 112 の周波数（感知温度）と、断熱体 130 の熱抵抗率  $\tau$  および厚み  $D$  から得られる熱抵抗  $R_{\tau}$  とを用いた深部温度の算出精度が向上する。

40

【0053】

以上のような構成の無線式体温計 10 を、図 2、図 3 に示すような無線式体温測定システム 1 に利用する。図 2 は本実施形態に係る無線式体温測定システム 1 の実施状況を示す図である。図 3 は本実施形態に係る無線式体温測定システム 1 の主要回路構成を示すブロック図である。

【0054】

まず、水晶振動子 112 およびコイル電極 122 が配設された無線式体温計 10 の下面を、被検温体である人 900 の腕 900A に装着する。なお、本実施形態では、腕に装着する場合を示したが、検温したい箇所（例えば人 900 の胸部等）に装着すればよい。

【0055】

このように人 900 に装着された無線式体温計 10 に対して、携帯型親端末 20 から第

50

1 パルス信号 S p L 1、第 2 パルス信号 S p L 2 を送信する。この際、携帯型親端末 2 0 を、無線式体温計 1 0 のコイル電極 1 2 1、1 2 2 との間で磁界結合による通信が可能な距離に近づけて第 1 パルス信号 S p L 1、第 2 パルス信号 S p L 2 を送信する。

【0056】

第 1 パルス信号 S p L 1 は、コイル電極 1 2 1 で受信され、水晶振動子 1 1 1 へ印加される。水晶振動子 1 1 1 は、第 1 パルス信号 S p L 1 によって共振し、第 1 共振信号 S f p 1 を出力する。この第 1 共振信号 S f p 1 が本発明の第 1 検出信号に相当する。第 1 共振信号 S f p 1 はコイル電極 1 2 1 に伝送される。コイル電極 1 2 1 に伝送された第 1 共振信号 S f p 1 は、磁界結合により携帯型親端末 2 0 へ送信される。

【0057】

ここで、第 1 共振信号 S f p 1 の周波数 f p 1 は水晶振動子 1 1 1 の感知する温度によって変化し、一つの共振周波数に対して一意に温度が決まっている。具体的には、共振周波数 f p 1 は、検温部である人 9 0 0 の腕 9 0 0 A の体温が熱抵抗率  $\tau$  で厚み D からなる断熱体 1 3 0 を介して外気側へ熱伝導された温度に応じて一意に決まり、当該共振周波数 f p 1 の第 1 共振信号 S f p 1 が出力される。

【0058】

第 2 パルス信号 S p L 2 は、コイル電極 1 2 2 で受信され、水晶振動子 1 1 2 へ印加される。水晶振動子 1 1 2 は、第 2 パルス信号 S p L 2 によって共振し、第 2 共振信号 S f p 2 を出力する。この第 2 共振信号 S f p 2 が本発明の第 2 検出信号に相当する。第 2 共振信号 S f p 2 はコイル電極 1 2 2 に伝送される。コイル電極 1 2 2 に伝送された第 2 共振信号 S f p 2 は、磁界結合により携帯型親端末 2 0 へ送信される。

【0059】

ここで、第 2 共振信号 S f p 2 の周波数 f p 2 は水晶振動子 1 1 2 の感知する温度によって変化し、一つの共振周波数に対して一意に温度が決まっている。具体的には、共振周波数 f p 2 は、検温部である人 9 0 0 の腕 9 0 0 A の体温に応じて一意に決まり、当該共振周波数 f p 2 の第 2 共振信号 S f p 2 が出力される。

【0060】

携帯型親端末 2 0 は、制御部 2 1、送信信号生成部 2 2、送受信部 2 3、親機側アンテナ 2 4、計測部 2 5、表示部 2 6、および操作部 2 7 を備える。制御部 2 1 は、携帯型親端末 2 0 の全体制御を行う。また、制御部 2 1 は、操作部 2 7 からの操作入力に応じて各種の制御処理を実行する。例えば、操作部 2 7 から体温測定の入力を受けると、まず、送信信号生成部 2 2 へ第 1 パルス信号 S p L 1 の生成制御を行う。

【0061】

送信信号生成部 2 2 は、第 1 パルス信号 S p L 1 の生成制御を受けると、第 1 の周波数の搬送波からなる第 1 パルス信号 S p L 1 を生成し、送受信部 2 3 へ与える。具体的には、第 1 パルス信号 S p L 1 の周波数成分が、当該無線式体温計 1 0 で検出される温度範囲において、水晶振動子 1 1 1 が取り得る周波数帯域と略同じになるように、搬送波周波数は、水晶振動子 1 1 1 の共振周波数に近い周波数に設定され、かつ帯域幅を決定するパルス幅（バースト時間）は適当な値に設定されている。

【0062】

送受信部 2 3 は、第 1 パルス信号 S p L 1 を親機側アンテナ 2 4 に出力する。親機側アンテナ 2 4 は、無線式体温計 1 0 のアンテナ部 1 2 と同様の構造からなり、第 1 パルス信号 S p L 1 を放射する。

【0063】

親機側アンテナ 2 4 は、無線式体温計 1 0 のコイル電極 1 2 1 から放射された第 1 共振信号 S f p 1 を受信し、送受信部 2 3 へ出力する。送受信部 2 3 は、第 1 共振信号 S f p 1 を計測部 2 5 へ出力する。

【0064】

制御部 2 1 は、第 1 共振信号 S f p 1 の受信を確認後、もしくは送信信号生成部 2 2 へ第 1 パルス信号 S p L 1 の生成制御から一定時間経過後、送信信号生成部 2 2 へ第 2 パル

10

20

30

40

50

ス信号 S p L 2 の生成制御を行う。

【 0 0 6 5 】

送信信号生成部 2 2 は、第 2 パルス信号 S p L 2 の生成制御を受けると、第 1 の周波数と異なる第 2 の周波数の搬送波からなる第 2 パルス信号 S p L 2 を生成し、送受信部 2 3 へ与える。具体的には、第 2 パルス信号 S p L 2 の周波数成分が、当該無線式体温計 1 0 で検出する温度範囲において、水晶振動子 1 1 2 が取り得る周波数帯域と略同じとなるように、この第 2 パルス信号 S p L 2 の搬送波周波数は、水晶振動子 1 1 2 の共振周波数に近い周波数に設定され、かつ帯域幅を決定するパルス幅（パースト時間）は適当な値に設定されている。

【 0 0 6 6 】

親機側アンテナ 2 4 は、無線式体温計 1 0 のコイル電極 1 2 1 から放射された第 2 共振信号 S f p 2 を受信し、送受信部 2 3 へ出力する。送受信部 2 3 は、第 2 共振信号 S f p 2 を計測部 2 5 へ出力する。

【 0 0 6 7 】

計測部 2 5 は、周波数変換部 2 5 1、温度検出部 2 5 2、および体温算出部 2 5 3 を備える。周波数変換部 2 5 1 は、F F T 処理等により、時間軸の第 1 共振信号 S f p 1 および第 2 共振信号 S f p 2 からそれぞれ周波数スペクトルを取得する。なお、本実施形態では第 1 共振信号 S f p 1 と第 2 共振信号 S f p 2 を別々に読み取る場合を示した。しかしながら、当該無線式体温計 1 0 で検出する温度範囲において、水晶振動子 1 1 1 が取り得る周波数帯域と水晶振動子 1 1 2 が取り得る周波数帯域をできるだけ近づけておき、かつ、2 つの周波数帯域を含む広い周波数成分を持ったパルス信号を送信すれば、一回の送受信で、第 1 共振信号 S f p 1 と第 2 共振信号 S f p 2 を同時に測定することができる。

【 0 0 6 8 】

温度検出部 2 5 2 には、第 1 共振信号 S f p 1 の周波数と温度との関係、および第 2 共振信号 S f p 2 の周波数と温度との関係が予め記憶されている。

【 0 0 6 9 】

温度検出部 2 5 2 は、第 1 共振信号 S f p 1 の周波数スペクトルピークを検出し、当該ピーク周波数 f p 1 に関連付けられた温度を、外気側温度 T s として出力する。

【 0 0 7 0 】

温度検出部 2 5 2 は、第 2 共振信号 S f p 2 の周波数スペクトルピークを検出し、当該ピーク周波数 f p 2 に関連付けられた温度を、体表面温度 T b として出力する。

【 0 0 7 1 】

体温算出部 2 5 3 は、外気側温度 T s、体表面温度 T b、水晶振動子 1 1 1、水晶振動子 1 1 2 間の断熱材 1 3 0 熱抵抗 R<sub>T</sub> と、あらかじめ記憶している皮下組織の熱抵抗 R<sub>u</sub> とに基づいて、次式から被検温体の深部体温 T d を算出する。

【 0 0 7 2 】

$$T d = T s + ( R_T + R_u ) \cdot ( T b - T s ) / R_T$$

算出された深部体温 T d は、表示部 2 6 および記憶部（図示せず）へ出力される。表示部 2 6 は深部体温測定結果を表示する。

【 0 0 7 3 】

以上のような構成により、携帯型親端末 2 0 により、遠隔で体温検出トリガを与えるだけで、人 9 0 0 の深部体温を測定することができる。

【 0 0 7 4 】

そして、本実施形態の構成を用いることで、体温が外気へ放射されるまでの過程における、体表面温度 T b を検知する水晶振動子 1 1 2 と外気側温度 T s を検知する水晶振動子 1 1 1 との間の熱の伝搬は、断熱体 1 3 0 のみを介する。したがって、上述の深部体温 T d の算出式の元となる熱伝搬モデルと正確に一致するので、深部体温 T d を精度よく算出することができる。

【 0 0 7 5 】

なお、本実施形態の説明では、水晶振動子 1 1 1、1 1 2 の表面が外部に露出する例を

10

20

30

40

50

示したが、図4に示すような構成を用いてもよい。図4は本実施形態に係る無線式体温計10の変形例である無線式体温計10'の構成を示す図である。

【0076】

無線式体温計10'は、断熱材130とは別の断熱体151で、図1に示した無線式体温計10を覆った構成を備える。断熱体151は、断熱体130および皮下組織に対して十分に大きい熱抵抗率を有する材料からなることが望ましい。

【0077】

断熱体151は、体温計としてのコアとなる断熱体130の水晶振動子111が配置された側の面(外気側となる上面)および側面(円周面)を覆う形状からなる。

【0078】

このような構成とすることで、外気の影響を小さくすることが可能になり、外気温の急激な変化が起こる使用状況下では、より深部体温の算出精度を高めることができる。

【0079】

次に、第2の実施形態に係る無線式体温計について、図を参照して説明する。図5は、本実施形態に係る無線式体温計10Aの構成を示す図である。図5(A)は上面断熱体141を省略した状態での上面図、図5(B)は側面断面図、図5(C)は下面断熱体142を省略した状態での下面図である。

【0080】

第1の実施形態に示した無線式体温計10、10'は、外気側と体表面側とでそれぞれ一つの水晶振動子を配置し、これらの組を用いて深部体温を測定するものであった。しかしながら、本実施形態の無線式体温計10Aは、外気側と体表面側との水晶振動子の組を複数設けたものである。なお、本実施形態では、具体的に外気側と体表面側との水晶振動子の組を二組設けた例を示しているが、三組以上であってもよい。

【0081】

コアとなる断熱体は、中央部に平面視して所定面積となる断熱体130Bを備えるとともに、平面視して当該断熱体130Bの周囲を埋めるように配置された断熱体130Aを備える。

【0082】

断熱体130Aの上面には、巻回形状のコイル電極121Aが形成されるとともに、当該コイル電極121Aを平面した略中央には水晶振動子111Aが配置されている。コイル電極121Aと水晶振動子111Aは導電性の電極パターンにより接続されている。

【0083】

断熱体130Aの下面には、巻回形状のコイル電極122Aが形成されるとともに、当該コイル電極122Aを平面した略中央には水晶振動子112Aが配置されている。この際、水晶振動子112Aは、平面視して水晶振動子111Aと重なりあうように配置されている。コイル電極122Aと水晶振動子112Aは導電性の電極パターンにより接続されている。この構成により、深部体温を測定する一組のアンテナ付き水晶振動子群が実現される。

【0084】

断熱体130Bの上面には、巻回形状のコイル電極121Bが形成されるとともに、当該コイル電極121Bを平面した略中央には水晶振動子111Bが配置されている。コイル電極121Bと水晶振動子111Bは導電性の電極パターンにより接続されている。

【0085】

断熱体130Bの下面には、巻回形状のコイル電極122Bが形成されるとともに、当該コイル電極122Bを平面した略中央には水晶振動子112Bが配置されている。この際、水晶振動子112Bは、平面視して水晶振動子111Bと重なりあうように配置されている。コイル電極122Bと水晶振動子112Bは導電性の電極パターンにより接続されている。この構成により、深部体温を測定するもう一組のアンテナ付き水晶振動子群が実現される。

【0086】

10

20

30

40

50

なお、各水晶振動子 1 1 1 A , 1 1 2 A , 1 1 1 B , 1 1 2 B は検知対象温度範囲において、共振周波数が重なり合わないようにする。これにより、携帯型親端末が、各水晶振動子 1 1 1 A , 1 1 2 A , 1 1 1 B , 1 1 2 B からの検出信号を、容易に識別できる。

【 0 0 8 7 】

そして、本実施形態に示すように、二つの異なる熱伝達経路での温度検知結果に基づいて、深部体温を算出することで、より信頼性の高い深部体温を測定することができる。

【 0 0 8 8 】

次に、第 3 の実施形態に係る無線式体温計について図を参照して説明する。図 6 は、本実施形態に係る無線式体温計 1 0 B の構成を示す図である。図 6 ( A ) は上面断熱体 1 4 1 を省略した状態での上面図、図 6 ( B ) は側面断面図、図 6 ( C ) は下面断熱体 1 4 2 を省略した状態での下面図である。

10

【 0 0 8 9 】

第 2 の実施形態に示した無線式体温計 1 0 A では、各アンテナを構成するコイル電極 1 2 1 A , 1 2 1 B , 1 2 2 A , 1 2 2 B の形状が略同じ場合を示した。しかしながら、本実施形態の無線式体温計 1 0 B では、同一面上に、巻回する径の大きなコイル電極と、巻回する径の小さなコイル電極とを備える。なお、断熱体 1 3 0 A , 1 3 0 B の構成は第 2 の実施形態と同じである。

【 0 0 9 0 】

断熱体 1 3 0 A の上面には、巻回形状のコイル電極 1 2 1 C が形成されている。コイル電極 1 2 1 C は、断熱体 1 3 0 A の外周近傍で巻回するように、大きな径で形成されている。当該コイル電極 1 2 1 C を平面した内側で断熱体 1 3 0 A 表面となる領域の所定位置には水晶振動子 1 1 1 C が配置されている。コイル電極 1 2 1 C と水晶振動子 1 1 1 C は導電性の電極パターンにより接続されている。

20

【 0 0 9 1 】

断熱体 1 3 0 A の下面には、巻回形状のコイル電極 1 2 2 C が形成されている。コイル電極 1 2 2 C は、断熱体 1 3 0 A の外周近傍で巻回するように、大きな径で形成されている。当該コイル電極 1 2 2 C を平面した内側で断熱体 1 3 0 A 表面となる領域の所定位置には水晶振動子 1 1 2 C が配置されている。

【 0 0 9 2 】

この際、水晶振動子 1 1 2 C は、平面視して水晶振動子 1 1 1 C と重なりあうように配置されている。コイル電極 1 2 2 C と水晶振動子 1 1 2 C は導電性の電極パターンにより接続されている。この構成により、深部体温を測定する一組のアンテナ付き水晶振動子群が実現される。

30

【 0 0 9 3 】

断熱体 1 3 0 B の上面には、第 2 の実施形態と同様に、巻回形状のコイル電極 1 2 1 B が形成されるとともに、当該コイル電極 1 2 1 B を平面した略中央には水晶振動子 1 1 1 B が配置されている。コイル電極 1 2 1 B と水晶振動子 1 1 1 B は導電性の電極パターンにより接続されている。

【 0 0 9 4 】

断熱体 1 3 0 B の下面には、第 2 の実施形態と同様に、巻回形状のコイル電極 1 2 2 B が形成されるとともに、当該コイル電極 1 2 2 B を平面した略中央には水晶振動子 1 1 2 B が配置されている。この際、水晶振動子 1 1 2 B は、平面視して水晶振動子 1 1 1 B と重なりあうように配置されている。コイル電極 1 2 2 B と水晶振動子 1 1 2 B は導電性の電極パターンにより接続されている。この構成により、深部体温を測定するもう一組のアンテナ付き水晶振動子群が実現される。

40

【 0 0 9 5 】

なお、各水晶振動子 1 1 1 B , 1 1 2 B , 1 1 1 C , 1 1 2 C は検知対象温度範囲において、共振周波数が重なり合わないようにする。これにより、携帯型親端末が、各水晶振動子 1 1 1 B , 1 1 2 B , 1 1 1 C , 1 1 2 C からの検出信号を、容易に識別できる。

【 0 0 9 6 】

50

そして、本実施形態の構成を用いても、二つの異なる熱伝達経路での温度検知結果に基づいて、深部体温を算出することができる。これにより、第2の実施形態と同様に、より信頼性の高い深部体温を測定することができる。

【0097】

次に、第4の実施形態に係る無線式体温計について、図を参照して説明する。図7は、本実施形態に係る無線式体温計10Cの構成を示す図である。図7(A)は上面断熱体141を省略した状態での上面図、図7(B)は側面断面図、図7(C)は下面断熱体142を省略した状態での下面図である。

【0098】

本実施形態の無線式体温計10Cは、第3の実施形態に示した無線式体温計10Bに対して、同一面上に配置された水晶振動子111Bと水晶振動子111Cとで、コイル電極121BCを共有する点で異なる。すなわち、第3の実施形態で示したコイル電極121Cと同じく、断熱体130Aの外周近傍に大きな径で形成されたコイル電極121BCに対して、断熱体130A上に配置された水晶振動子111Cと、断熱体130B上に配置された水晶振動子111Bとを並列に接続する。この際、コイル電極121BCは、検温対象となる水晶振動子111Bおよび水晶振動子111Cの各周波数帯域で、磁界結合型の無線通信が可能な形状に形成する。

10

【0099】

このような構成であっても、断熱体130A, 130Bを挟んで配置される水晶振動子同士は導電性の電極パターンで接続されていないので、上述の各実施形態と同様に、精度良く深部体温を測定することができる。

20

【0100】

次に、第5の実施形態に係る無線式体温計について、図を参照して説明する。図8は本実施形態に係る無線式体温計10Dの構成を示す図である。図8(A)は上面断熱体141を省略した状態での上面図、図8(B)は側面断面図、図8(C)は下面断熱体142を省略した状態での下面図である。図9は校正用データの一例を示す表である。

【0101】

本実施形態の無線式体温計10Dは、第1の実施形態に示した無線式体温計10に対して、さらにRFID160を追加した構成からなる。したがって、第1の実施形態と異なる構成のみを具体的に説明する。

30

【0102】

送受のアンテナコイルをRFID160と水晶振動子111、112で共通化するため、RFID160の動作周波数 $f_{p3}$ と水晶振動子111、112の共振周波数 $f_{p1}$ 、 $f_{p2}$ は近接するように設定されている。具体的には、 $f_{p3}=13.56\text{MHz}$ のHF帯RFIDを使用する場合は、 $f_{p1}$ 、 $f_{p2}$ は、 $13.56\text{MHz} \pm 1\text{MHz}$ の範囲内とすることが好ましい。

【0103】

RFID160は、水晶振動子111と同様に、断熱体130の上面に配設されている。RFID160は、水晶振動子111が接続された巻回状のコイル電極121に、並列接続されている。すなわち、水晶振動子111とRFID160は、コイル電極121を共有する。

40

【0104】

RFID160は、無線式体温計10Dに備えられた水晶振動子111、112、断熱材130に関する校正用データを記憶している。なお、これらの校正用データは、予め既知の雰囲気(特に温度)で測定された結果によって設定される。

【0105】

図9に示すように、水晶振動子111の共振周波数 $f_{p1}$ に関する校正用データは、予め設定した第1の温度 $T_L$ における無線式体温計10Dに配設された水晶振動子111のピーク周波数(低温側ピーク周波数) $f_{1L}$ と、第2の温度 $T_H (> T_L)$ における無線式体温計10Dに配設された水晶振動子111のピーク周波数(高温側ピーク周波数) $f$

50

1 Hである。したがって、水晶振動子 1 1 1 に関する校正用データとしては、第 1 の温度  $T_L$  および低温側ピーク周波数  $f_{1L}$  の組 ( $T_L, f_{1L}$ )、第 2 の温度  $T_H$  および高温側ピーク周波数  $f_{1H}$  の組 ( $T_H, f_{1H}$ ) からなる。

【0106】

同様に、水晶振動子 1 1 2 の共振周波数  $f_{p2}$  に関する校正用データは、予め設定した第 1 の温度  $T_L$  における無線式体温計 1 0 D に配設された水晶振動子 1 1 2 のピーク周波数 (低温側ピーク周波数)  $f_{2L}$  と、第 2 の温度  $T_H$  ( $> T_L$ ) における無線式体温計 1 0 D に配設された水晶振動子 1 1 2 のピーク周波数 (高温側ピーク周波数)  $f_{2H}$  である。したがって、水晶振動子 1 1 2 に関する校正用データとしては、第 1 の温度  $T_L$  および低温側ピーク周波数  $f_{2L}$  の組 ( $T_L, f_{2L}$ )、第 2 の温度  $T_H$  および高温側ピーク周波数  $f_{2H}$  の組 ( $T_H, f_{2H}$ ) からなる。

10

【0107】

具体的には、RFID に次のような値を入力する。

( $T_L, f_{1L}$ ) = (35.01, 13.001)、

( $T_H, f_{1H}$ ) = (40.02, 13.051)、

( $T_L, f_{2L}$ ) = (35.03, 13.003)、

( $T_H, f_{2H}$ ) = (40.04, 13.052)、

RT = 2001。

【0108】

RFID に入力する際は、入力値のばらつき範囲内の桁まで入力すれば十分であるので、例えば、以下のように入力してもよい。

20

( $T_L, f_{1L}$ ) = (1, 01)、

( $T_H, f_{1H}$ ) = (2, 51)、

( $T_L, f_{2L}$ ) = (3, 03)、

( $T_H, f_{2H}$ ) = (4, 52)、

RT = 01。

このようにすることで、RFID のメモリ使用量を削減できる。

【0109】

なお、第 1 の温度  $T_L$  と第 2 の温度  $T_H$  は、上述の関係  $T_L < T_H$  が満たされればよいが、当該無線式体温計 1 0 D の対象とする測定温度範囲の下限温度と上限温度に設定するとよい。

30

【0110】

また、断熱体 1 3 0 に関する校正用データは、無線式体温計 1 0 D に配設された断熱体 1 3 0 の熱抵抗 RT からなる。当該熱抵抗 RT は、当該断熱体 1 3 0 の組成から得られる熱抵抗値をそのまま用いてもよいが、深部体温が既知な測定環境において、皮下組織の熱抵抗  $R_s$  を既知の固定値で、上述の水晶振動子 1 1 1, 1 1 2 の特性が分かっている状態であれば、第 1 の実施形態に示した深部体温  $T_d$  の算出式を用いて算出することができる。

【0111】

RFID 1 6 0 は、これらの構成要素からなる校正用データを含む RFID 返信信号  $S_{re}$  を親機からの RFID 問い合わせ信号  $S_q$  に応じて親機に返信する。

40

【0112】

次に、このような RFID 1 6 0 を備えた無線式体温計 1 0 D を含む無線式体温測定システム 1 D について、図を参照して説明する。この無線式体温測定システム 1 D は、第 1 の実施形態に示した無線式体温測定システム 1 0 と体温測定に関する基本的構成および処理は同じであり、校正用データに関する箇所のみが異なる。したがって、異なる箇所のみを図 1 0 は本実施形態に係る無線式体温測定システム 1 D の主要回路構成を示すブロック図である。

【0113】

親機側アンテナ 2 4 で上記校正用データを含む RFID 返信信号  $S_{re}$  を受信すると、

50

当該RFID返信信号S r eは、送受信部23Aを介して制御部21Aへ入力される。

【0114】

制御部21Aは、RFID返信信号S r eを復調して、校正用データを取得し、計測部25Aへ与える。

【0115】

計測部25Aの温度検出部252Aは、校正用データと、上述の実施形態の方法で取得した周波数変換部251からの第1共振信号S f p 1の周波数および第2共振信号S f p 2の周波数と、を用いて、外気側温度T sおよび体表面温度T bを算出する。

【0116】

具体的には、温度検出部252Aは、校正用データの第1の温度T Lおよび低温側ピーク周波数f 1 Lの組(T L, f 1 L)、および第2の温度T Hおよび高温側ピーク周波数f 1 Hの組(T H, f 1 H)から温度-周波数特性を線形補間で算出し、第1共振信号S f p 1の周波数に対応する温度を外気側温度T sとして算出する。

10

【0117】

また、温度検出部252Aは、校正用データの第1の温度T Lおよび低温側ピーク周波数f 2 Lの組(T L, f 2 L)、および第2の温度T Hおよび高温側ピーク周波数f 2 Hの組(T H, f 2 H)から温度-周波数特性を線形補間で算出し、第2共振信号S f p 2の周波数に対応する温度を外気側温度T sとして算出する。

【0118】

体温算出部253Aは、温度検出部252Aで校正用データを用いて算出された外気側温度T sおよび外気側温度T sと、校正用データの熱抵抗R Tとを用いて、上述の第1の実施形態に示したように、深部体温T dを算出する。

20

【0119】

以上のような構成を用いれば、無線式体温計10D毎に水晶振動子111, 112および断熱体130に特性ばらつきがあっても、校正用データを用いて正確な体温測定が可能になる。

【0120】

なお、本実施形態では、異なる二つの温度におけるピーク周波数を校正用データに用いる例を示したが、一つの温度におけるピーク周波数と線形補間用の補間係数(温度-周波数特性の勾配(傾き)に相当する値)との組や、上述の温度と周波数との相関から得られる補正係数を校正用データとして用いてもよい。また、断熱材の熱抵抗に関しても、当該熱抵抗から算出される補正係数を校正用データとして用いてもよい。さらには、RFID160の記憶容量を大きく取ることができれば、予め各水晶振動子111, 112の共振周波数と深部体温T dとの関係を記憶しておき、これらの関係を校正用データとして用いることもできる。

30

【0121】

また、本実施形態では、RFID160と水晶振動子111とを個別に設ける例を示したが、RFIDICとして温度センサを備えるものであれば、少なくとも断熱体の一方面に配設される水晶振動子だけでもRFIDICに置き換えればよい。

【0122】

また、本実施形態では、水晶振動子111とRFID160とでアンテナを共通化したが、それぞれ個別のアンテナを設けてもよい。

40

【0123】

また、本実施形態では、RFID160を断熱体130の外気側に設けた例を示したが、体表面側に設けることも可能である。

【0124】

また、本実施形態では、体温測定と校正用データの読み取りを逐次個別に行う例を示したが、これらを同時に行うようにしてもよい。この場合、体温測定のための第1パルス信号S p L 1は、RFID問い合わせ信号S qと合成されてアンテナコイルより出力される。

50

## 【0125】

また、上述の説明では、断熱体の形状が、平面視して円形となる場合を示したが、その形状は円形に限るものではなく、平面視して四角形等の多角形となるような形状であってもよい。また、コイル電極についても、同様に、円で巻回する形状に限るものではなく、送受波する周波数帯域を上述のように適宜設定すれば、四角形等の多角形に巻回する形状であってもよい。

## 【0126】

また、上述の説明では、磁界結合型のアンテナを用いた例を示したが、パッチアンテナ等の電波送受波型のアンテナを用いてもよい。

## 【0127】

また、上述の説明では、コイル電極の巻回形状の内側に水晶振動子を配置する例を示したが、巻回形状の外側に水晶振動子を配置してもよい。ただし、コイル電極の巻回形状の内側に水晶振動子を配置することで、無線式体温計を小型化することができる。

10

## 【0128】

また、上述の説明では、水晶振動子を例に説明したが、大きな周波数温度特性を有する圧電共振子であればよく、弾性表面波共振子を用いてもよい。特に、弾性表面波共振子を用いた場合、UHF帯などの電波通信用アンテナを小型にすることが可能な高い周波数に共振周波数を合わせることが水晶振動子に比べて容易であるので、電波による無線通信を行う無線式体温計を容易に製造することができる。

## 【0129】

また、上述の説明で示した深部体温の算出方法は一例であり、体表面側温度と外気側温度とを用いた他の算出方法を用いてもよい。

20

## 【0130】

また、上述の各実施形態、特に上述の第2の実施形態に示すように、複数の温度検出用の振動子、およびアンテナとなるコイル電極を、上面および下面に形成する場合には、コイル電極の形状が小さくなってしまふことがある。この場合、外部に対する電磁界結合が可能な距離が短くなってしまふことがある。このような場合には、次に示す第6の実施形態に示すような無線式体温計を用いればよい。図11は、本実施形態に係る無線式体温計40の構成を示す図である。図11(A)は上面断熱体141を省略した状態での上面図、図11(B)は側面断面図である。

30

## 【0131】

図11に示すように、本実施形態の無線式体温計40は、第2の実施形態に示した無線式体温計10Aと、中継用アンテナ30とからなる。温度検出用の無線式体温計10Aは、第2の実施形態と同じであるので、中継用アンテナ30に関してのみ詳細に説明する。

## 【0132】

中継用アンテナ30は、絶縁性を有する円環形状のベースフィルム31と、巻回形からなるコイル電極32とを備える。ベースフィルム31の円環形状の内径は、無線式体温計10Aを平面視した外径よりも大きい。ベースフィルム31の幅、外径から内径を減算した長さは、コイル電極32が形成できる程度の所定長さである。なお、ベースフィルム31は、体表面への吸着性のよい材質であるとよい。

40

## 【0133】

コイル電極32は、ベースフィルム31の上面に、ベースフィルム31の全周を周回する形状で形成されており、所定のインダクタンスおよび所定の寄生キャパシタンスが得られる形状に形成されている。この際、無線式体温計10Aと図示しない携帯型親端末とで送受信する信号の周波数帯域に、このコイル電極32の形状に基づくインダクタンスおよび寄生キャパシタンスによる共振周波数が重なるように、コイル電極32の電極幅、電極間隔および巻回数は決定される。なお、ここで、寄生キャパシタンスを用いる例を示したが、ベースフィルム31にチップコンデンサを実装し、コイル電極32に接続するような態様であってもよい。

## 【0134】

50

このような構造からなる、中継アンテナ 30 の中空領域内に、無線式体温計 10 A を配置する。具体的には、まず、検温部（人の腕等）に、中継アンテナ 30 を取り付ける。次に、中継アンテナ 30 の中空領域に露出した検温部に、無線式体温計 10 A を取り付ける。これにより、中継アンテナ 30 の中空領域に無線式体温計 10 A を維持した状態を実現できる。

【0135】

このような構造からなる無線式体温計では、各コイル電極 121 A, 121 B, 122 A, 122 B で送受信する信号が、中継アンテナ 30 を介することで、各コイル電極 121 A, 121 B, 122 A, 122 B のみで送受信するよりも、遠距離まで送受信することが可能になる。逆に言えば、各コイル電極 121 A, 121 B, 122 A, 122 B の形状を小さくしても、無線式体温計として必要な距離での送受信が可能になる。

10

【0136】

また、中継アンテナ 30 を用いることで、各コイル電極 121 A, 121 B, 122 A, 122 B に代えて、チップインダクタ、水晶振動子を含む温度センサ素子の外側面に周回して導体を巻きつけたコイル、水晶振動子を含む温度センサに内蔵したコイル等を用いることもできる。

【0137】

また、上述の説明では、中継アンテナ 30 と無線式体温計 10 A とを別体で形成した例を示したが、例えば、中継アンテナ 30 のベースフィルム 31 と、無線式体温計 10 A の下面断熱体 142 とを一体形成してもよい。

20

【0138】

また、上述の説明では、ベースフィルム 31 とコイル電極 32 から中継アンテナ 30 を形成する例を示したが、ベースフィルム 31 を省略して、コイル電極 32 を、無線式体温計 10 A の外側面に沿って形成してもよい。

【0139】

また、上述の説明では、中継アンテナ 30 と無線式体温計 10 A との組合せを説明したが、他の実施形態の無線式体温計と中継アンテナ 30 を組み合わせることもできる。

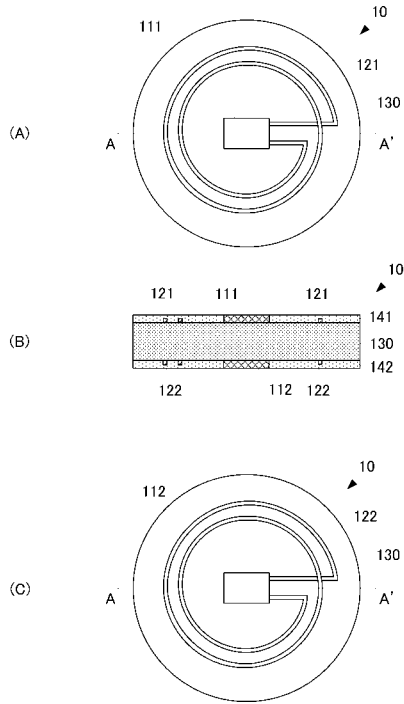
【符号の説明】

【0140】

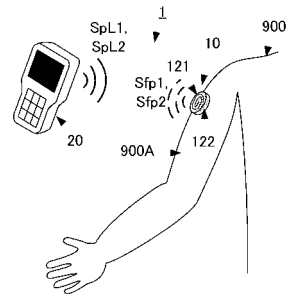
10, 10', 10 A, 10 B, 10 C, 10 D - 無線式体温計、20, 20 A - 携帯型親端末、21, 21 A - 制御部、22 - 送信信号生成部、23, 23 A - 送受信部、24 - 親機側アンテナ、25, 25 A - 計測部、251 - 周波数変換部、252, 252 A - 温度検出部、253, 253 A - 体温算出部、26 - 表示部、27 - 操作部、30 - 中継アンテナ、31 - ベースフィルム、32 - コイル電極、111, 111 A, 111 B, 111 C, 112, 112 A, 112 B, 112 C - 水晶振動子、121, 121 A, 121 B, 121 C, 121 BC, 122, 122 A, 122 B, 122 C - コイル電極、130, 130 A, 130 B - 断熱体、141 - 上面断熱体、142 - 下面断熱体、151 - 断熱体、160 - RFID、900 - 人、900 A - 腕、1, 1 D - 無線式体温測定システム

30

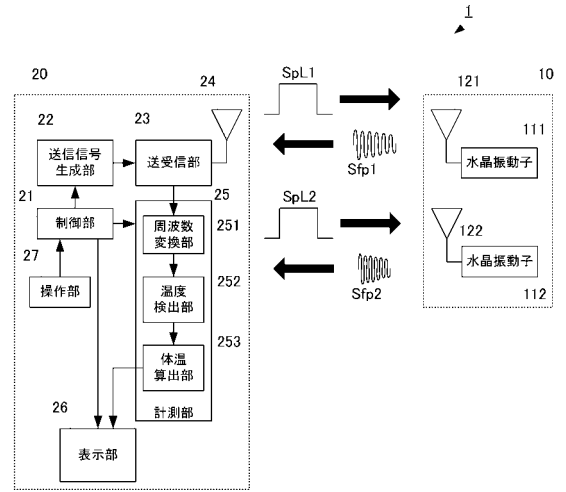
【図1】



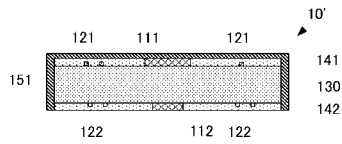
【図2】



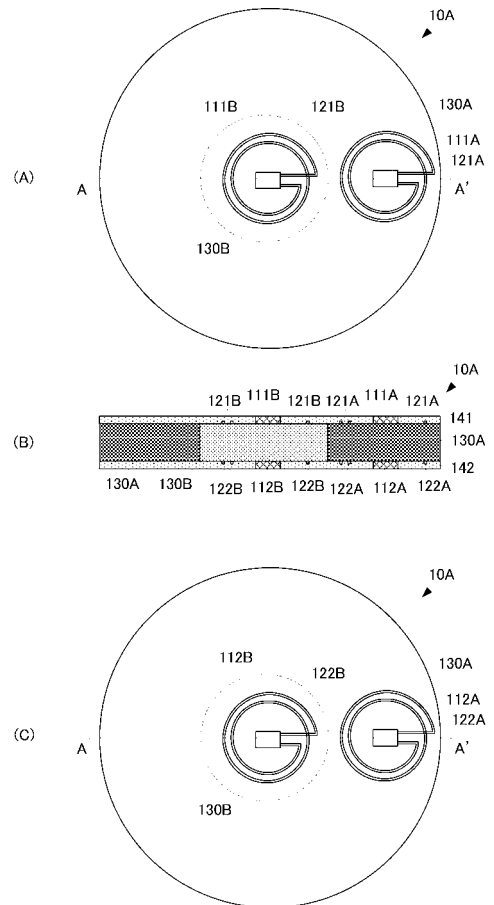
【図3】



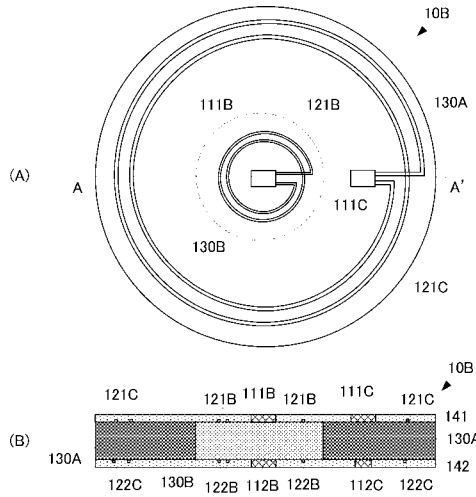
【図4】



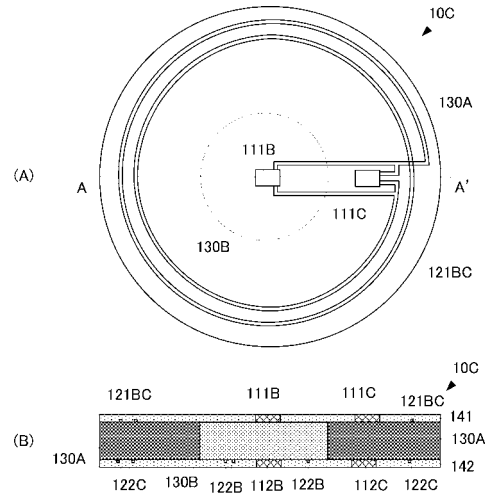
【図5】



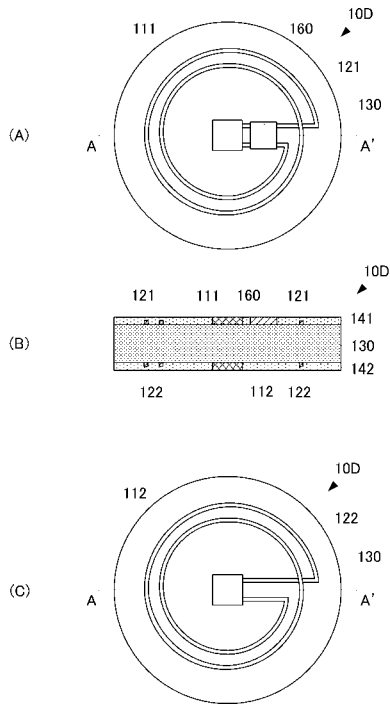
【図 6】



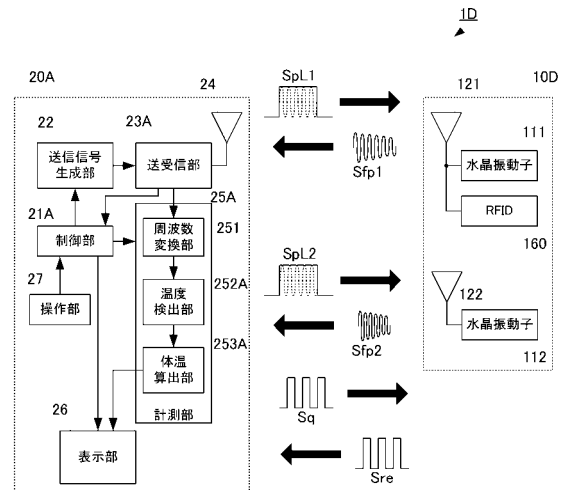
【図 7】



【図 8】



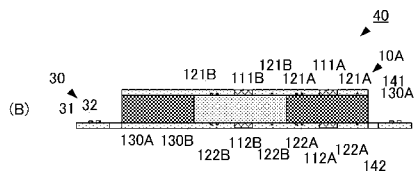
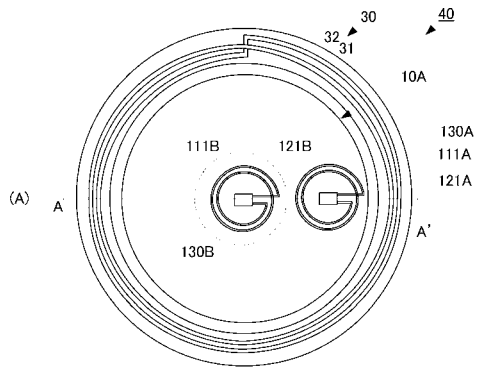
【図 10】



【図 9】

項目	校正用データ	
fp1	低温側ピーク周波数	f1L
	高温側ピーク周波数	f1H
fp2	低温側ピーク周波数	f2L
	高温側ピーク周波数	f2H
熱抵抗	RT	

【 図 1 1 】



---

フロントページの続き

(72)発明者 伊藤 吉博

京都府長岡京市東神足1丁目10番1号

株式会社村田製作所内

Fターム(参考) 2F056 AE03 AE05 AE07 HD01 HD02 HD03 HD06

4C117 XB01 XC11 XC15 XC19 XD13 XE23 XH02 XJ16